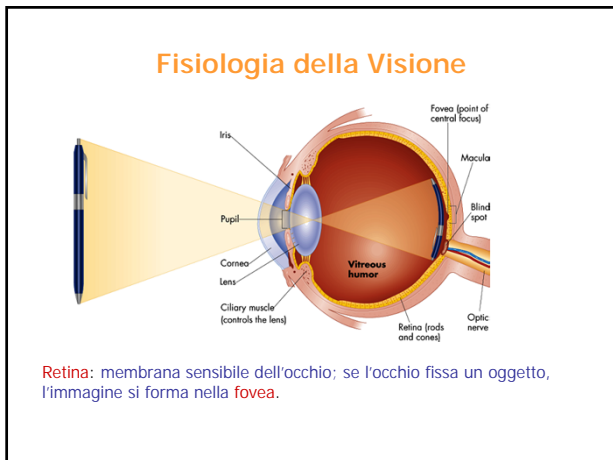
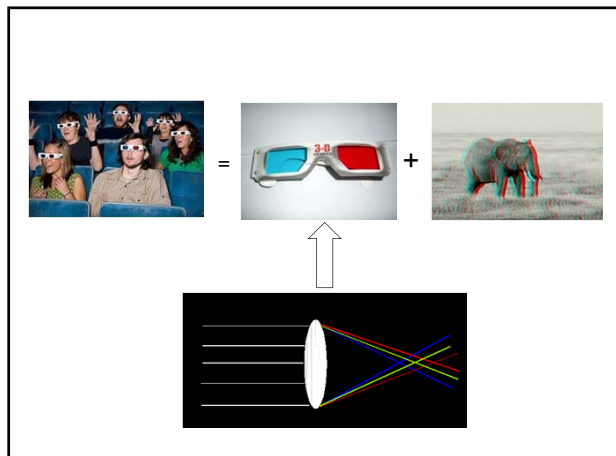
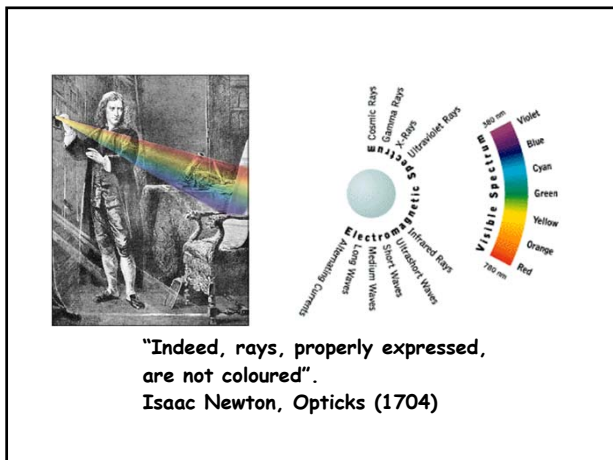
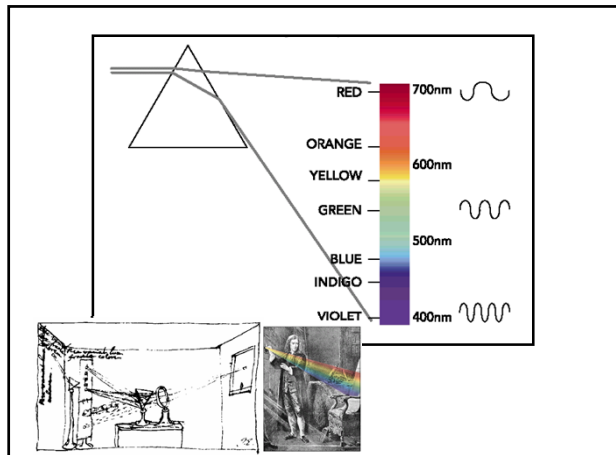




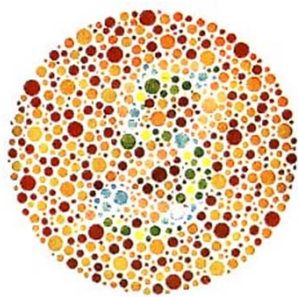


Modelli della visione e fotografia digitale

R. Schettini
 D.I.S.Co. (Dip. Informatica, Sistemistica e Comunicazione)
 Università degli Studi di Milano-Bicocca,
 Viale Sarca 336, 20126 Milano Italy
www.ivl.disco.unimib.it

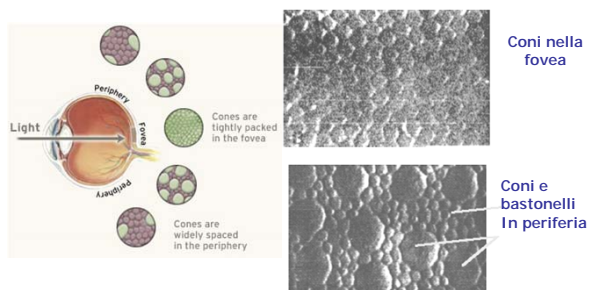


Test di visone (Ishihara)



Visione normale: 5; Daltonismo per rosso/verde: 2

Fisiologia della Visione



Digitalizzazione di immagini

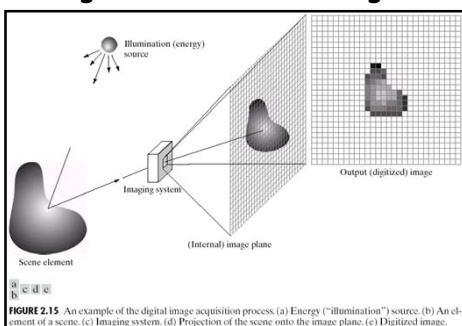


FIGURE 2.15 An example of the digital image acquisition process. (a) Energy ("illumination") source. (b) An element of a scene. (c) Imaging system. (d) Projection of the scene onto the image plane. (e) Digitized image.

- una immagine è un proiezione di una scena 3D sul piano immagine (2D).
- proiezione che viene poi digitalizzata.

Campionamento e quantizzazione

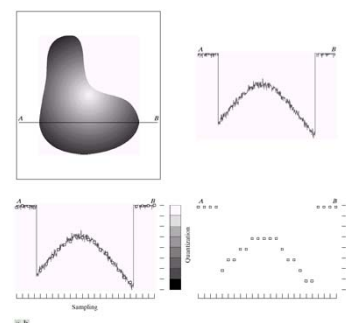
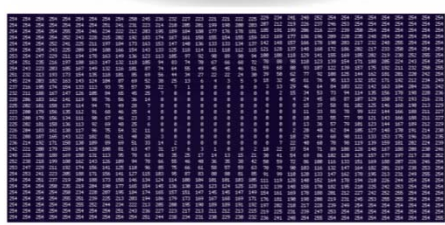
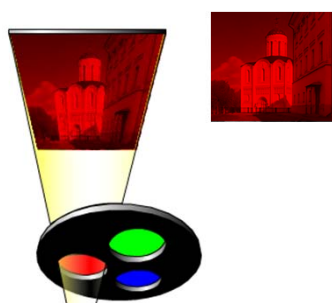
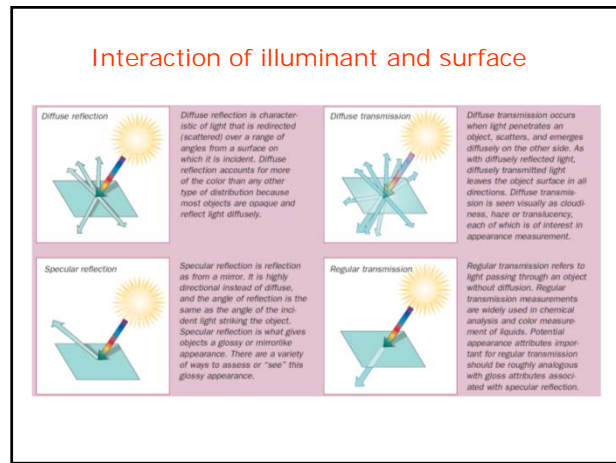
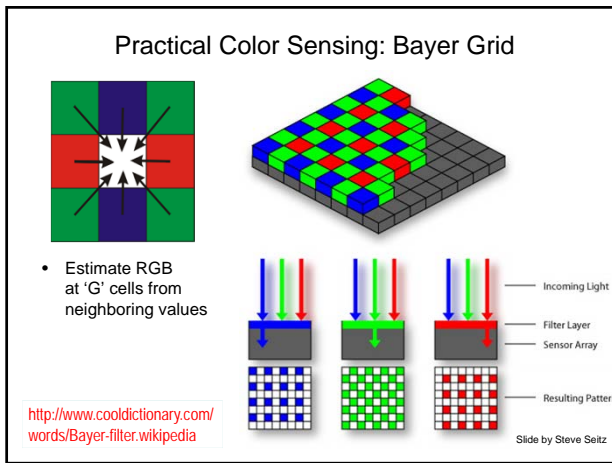
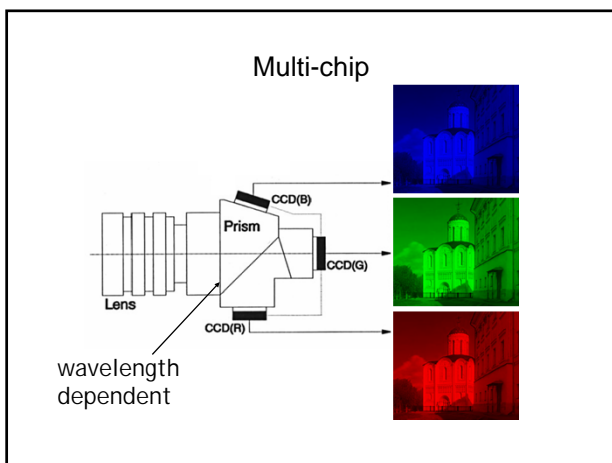
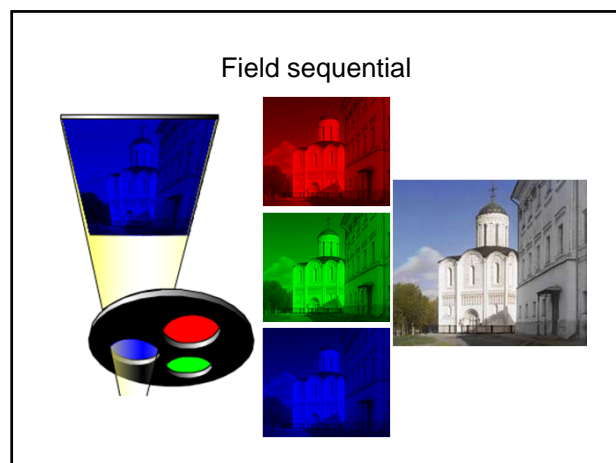
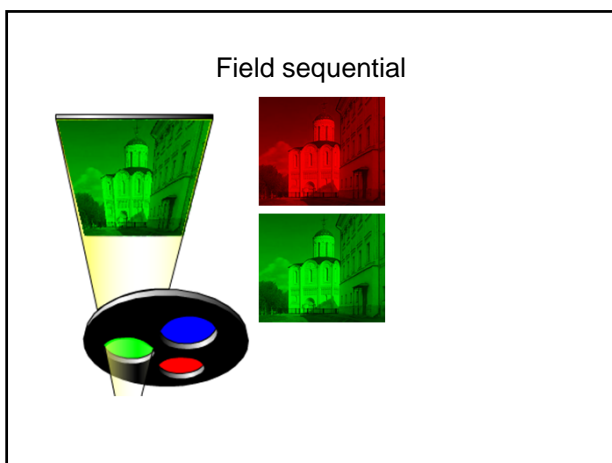


FIGURE 2.16 Generating a digital image. (a) Continuous image. (b) A scanline from A to B in the continuous image, used to illustrate the concepts of sampling and quantization. (c) Sampling and quantization. (d) Digital scanline.

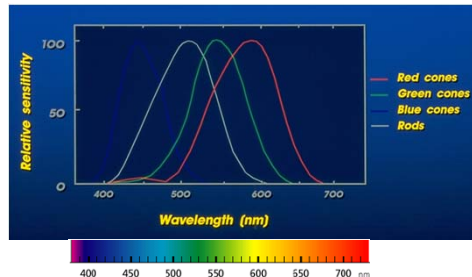


Field sequential





Sensibilità relativa dei coni e dei bastoncelli



Interaction of illuminant and surface

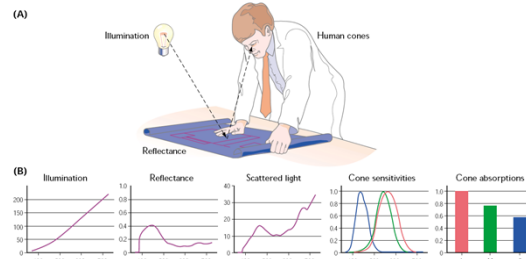
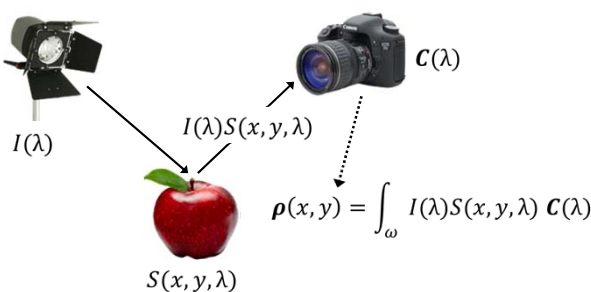
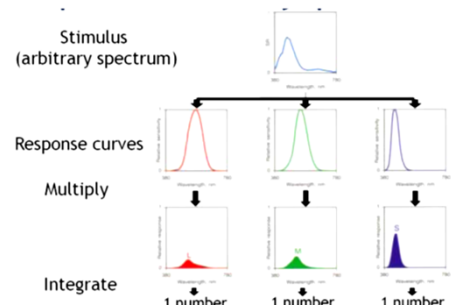


Figure 8.3 The physical factors governing sensor absorptions. The wavelength composition of the light sent to the eye (the color signal) depends on the ambient illumination and the surface reflectance. The number of photons absorbed in each of the eye's receptor types depends on the relative spectral absorption of the media of the eye and the photopigments within the receptors.

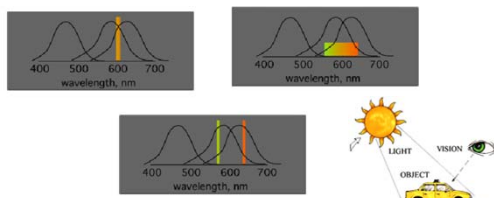
Image formation



Trichromacy



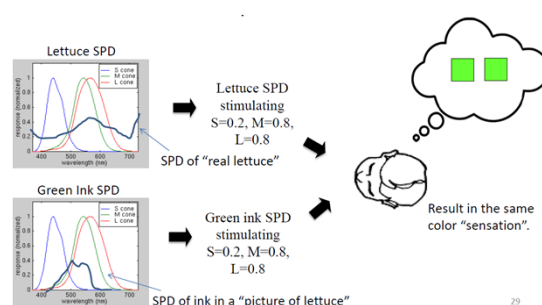
Imaging e metameria



Queste tre distribuzioni spettrali di energia eccitano i coni in modo identico e sono quindi indistinguibili a livello sensoriale. Tali distribuzioni si dicono metameriche. I metameri possono avere distribuzioni anche molto diverse fra loro (vedi anche slide successiva).

Se cambia la sensibilità spettrale del dispositivo di imaging (e.g. occhio dell'osservatore, camera digitale, ...) le distribuzioni possono non essere più metameriche.

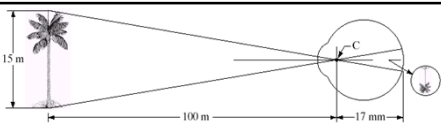
Imaging e metameria



29

Formazione dell'immagine

FIGURE 2.3
Graphical representation of the eye looking at a palm tree. Point C is the optical center of the lens.



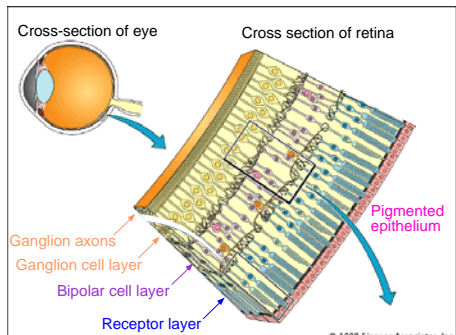
- La fovea puo' essere immaginata come un array di sensori
- La densità dei coni e' di circa 150.000 per mm²
- Possiamo immaginare la fovea come un array quadrato 1.5 mm x 1.5 mm avente circa 337.000 fotosensori (580 x 580). ...in pratica 0,33 Megapixel.

Perche' si costruiscono camere con cosi' tanti pixel ?

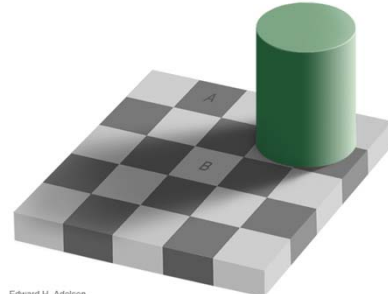
Canon 6D	Nikon D600	Sony A99	Canon 5D Mk III	Nikon D800
20.2 MP	24.3 MP	24.3 MP	22.3 MP	36.3 MP



La Retina

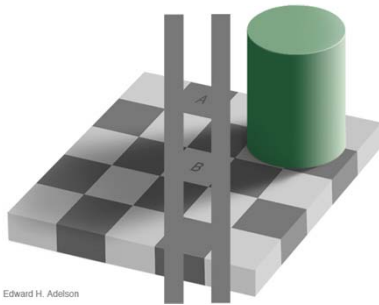


Color Imaging



Edward H. Adelson
Checker Shadow Illusion – [E. H. Adelson]

Color Imaging



Edward H. Adelson
Checker Shadow Illusion – [E. H. Adelson]

Contrasto simultaneo

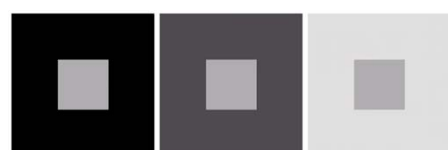
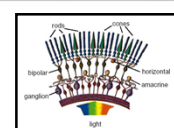
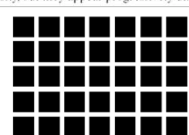
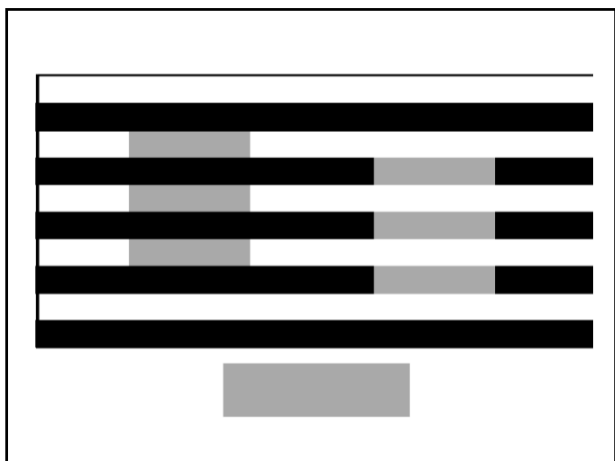
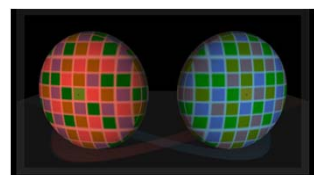


FIGURE 2.8 Examples of simultaneous contrast. All the inner squares have the same intensity, but they appear progressively darker as the background becomes lighter.

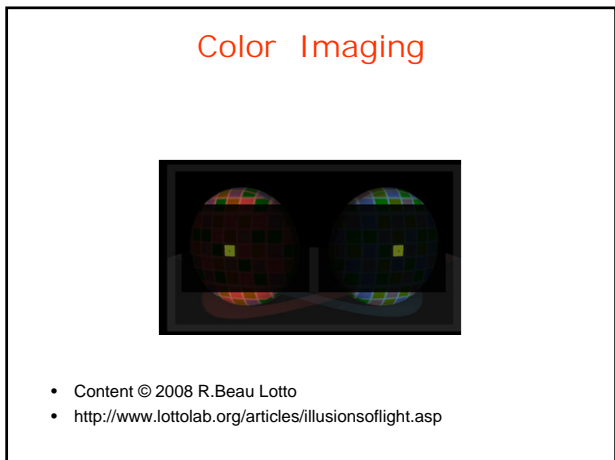




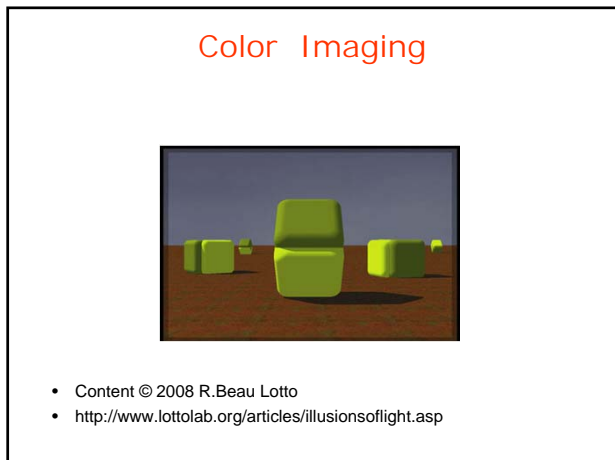
Color Imaging



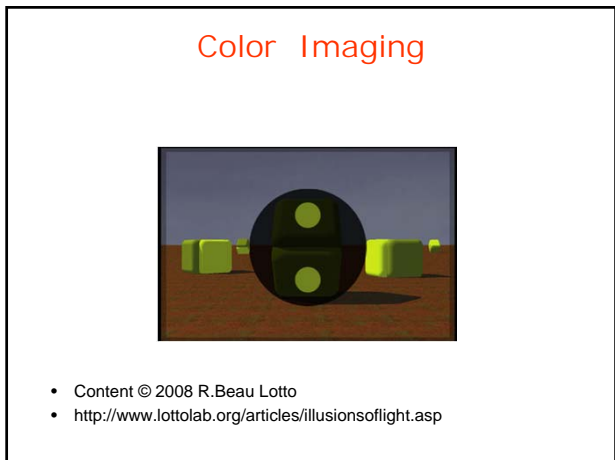
- Content © 2008 R.Beau Lotto
- <http://www.lottolab.org/articles/illusionsoflight.asp>



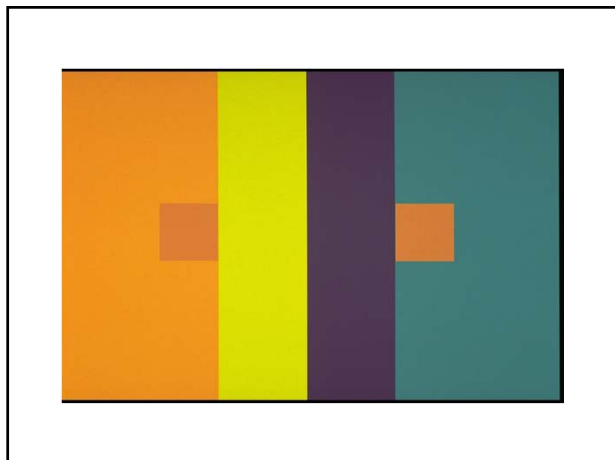
- Content © 2008 R.Beau Lotto
- <http://www.lottolab.org/articles/illusionsoflight.asp>

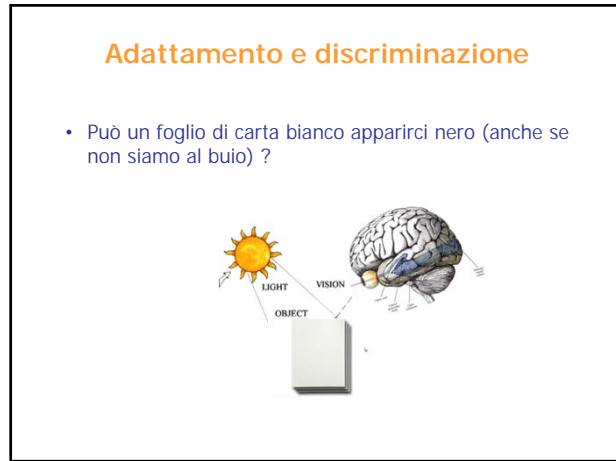
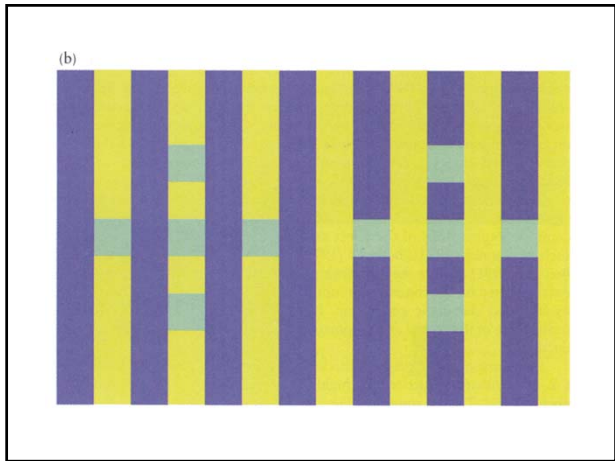
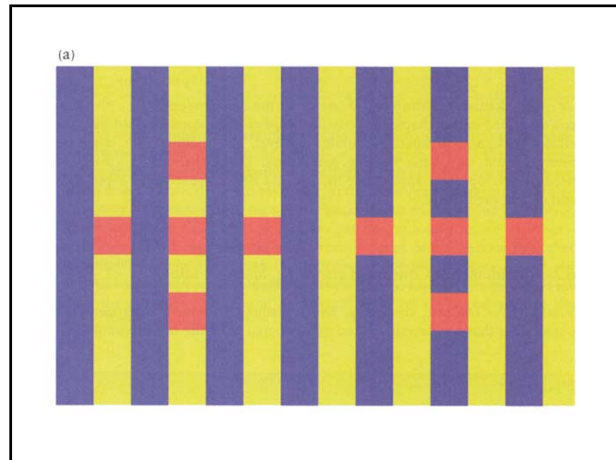
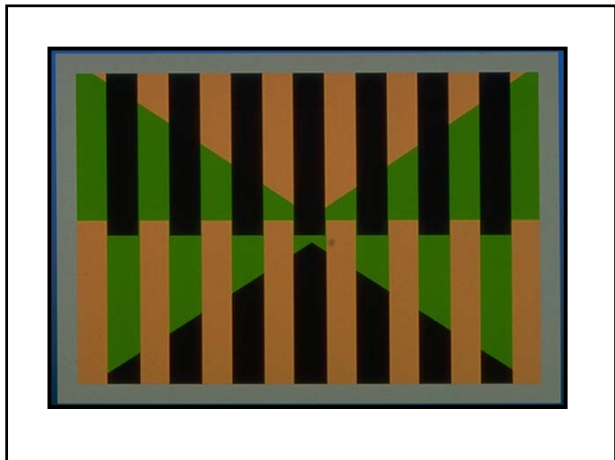
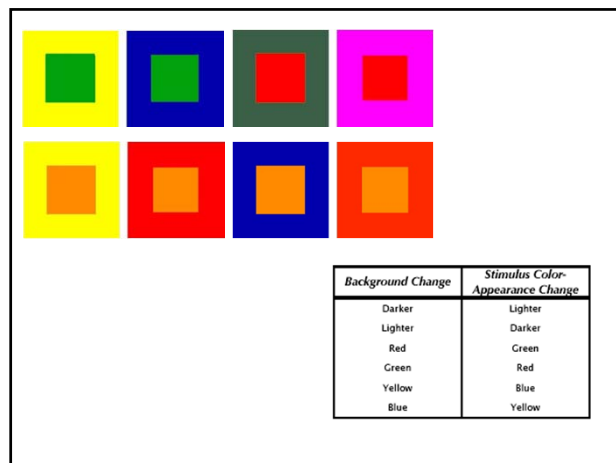
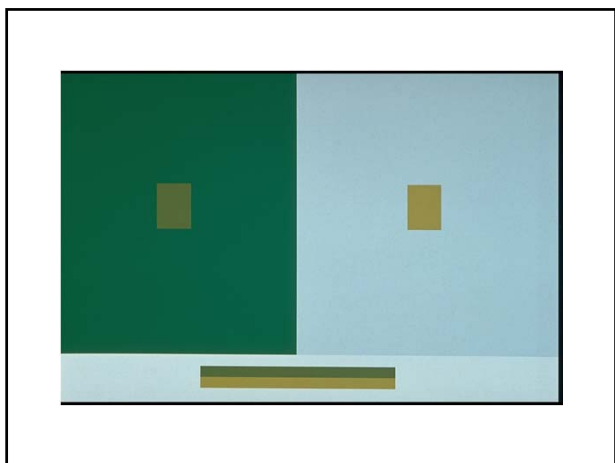


- Content © 2008 R.Beau Lotto
- <http://www.lottolab.org/articles/illusionsoflight.asp>



- Content © 2008 R.Beau Lotto
- <http://www.lottolab.org/articles/illusionsoflight.asp>





Legge di Weber



If you lift up and hold a weight of 2.0 kg, you will notice that it takes some effort. If you add to this weight another 0.05 kg and lift, you may not notice any difference between the apparent or subjective weight between the 2.0 kg and the 2.1 kg weights. If you keep adding weight, you may find that you will only notice the difference when the additional weight is equal to 0.2 kg. The increment threshold for detecting the difference from a 2.0 kg weight is 0.2 kg. The just noticeable difference (jnd) is 0.2 kg.

Now start with a 5.0 kg weight. If you add weight to this, you will find that the just noticeable difference is 0.5 kg. It takes 0.5 kg added to the 5.0 kg weight for you to notice an apparent difference.

For the weight of magnitude, I , of 2.0 kg, the increment threshold for detecting a difference was a ΔI of 0.2 kg.

For the weight of magnitude, $I = 5.0$ kg, the increment threshold $\Delta I = 0.5$ kg.

The ratio of $\Delta I/I$ for both instances ($0.2/2.0 = 0.5/5.0 = 0.1$) is the same. This is **Weber's Law**.

Legge di Stevens

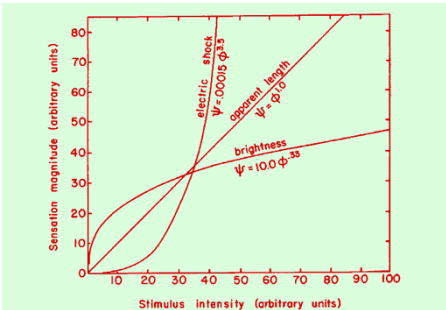
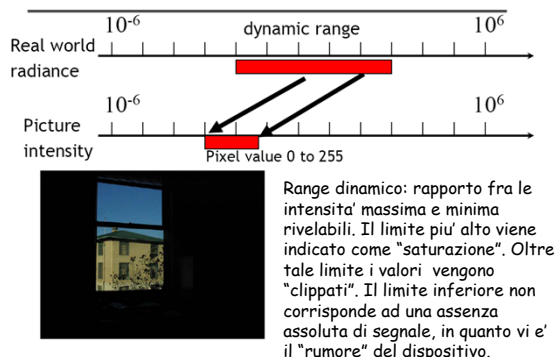
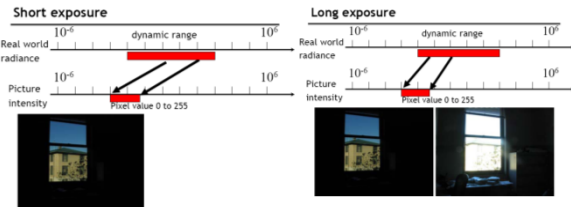


FIG. 8.4. Psychophysical magnitude functions for three perceptual continua plotted on linear coordinates. Each function is a power function. The form of the function is greatly influenced by the size of the exponent. An exponent of 1.0 corresponds to a linear function. An exponent less than 1.0 corresponds to a concave downward function, and an exponent greater than 1.0 corresponds to a concave upward function.

Range dinamico



Range dinamico



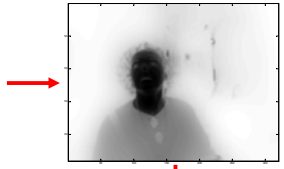
Modifiche del contrasto

under-exposed and over-exposed areas

Original image

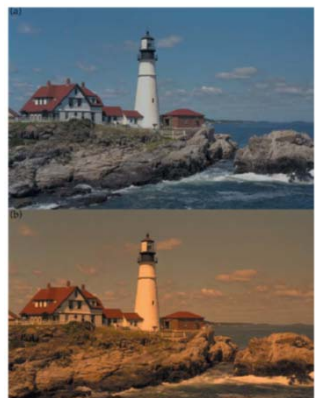


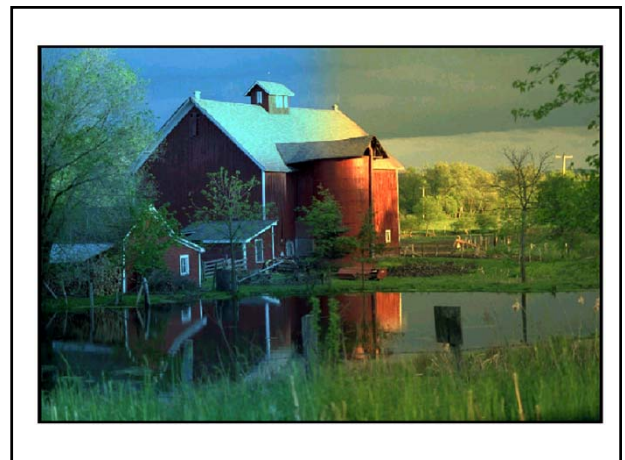
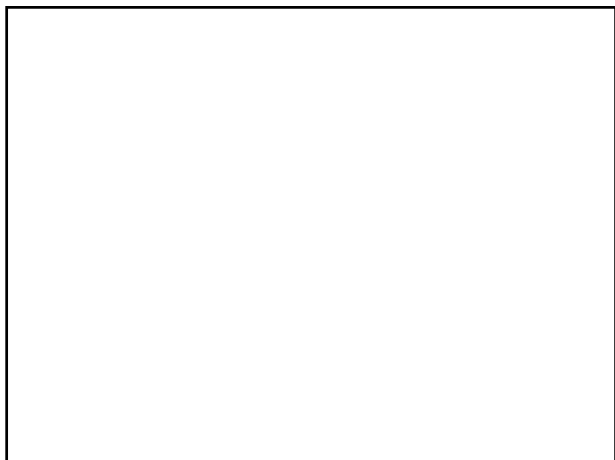
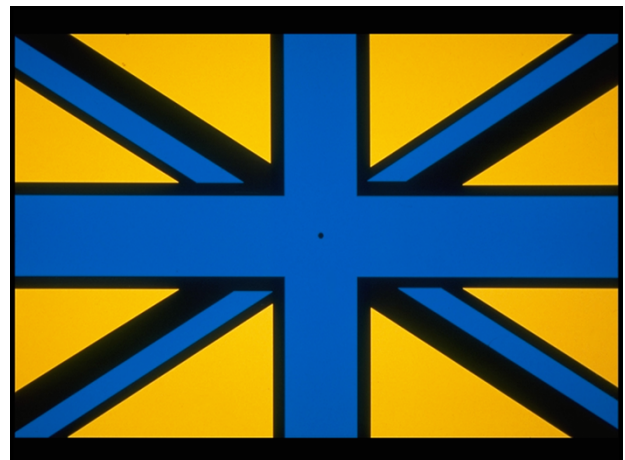
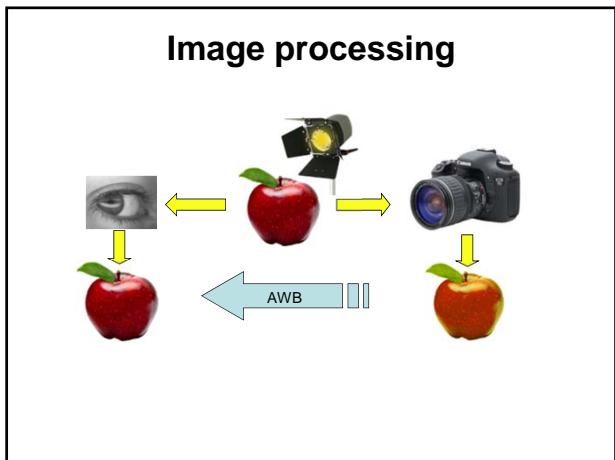
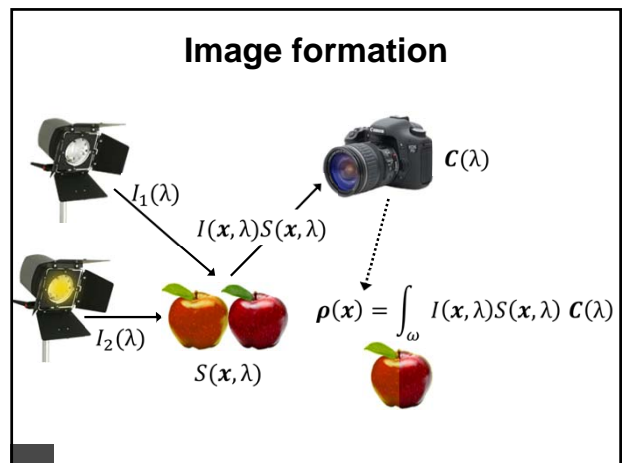
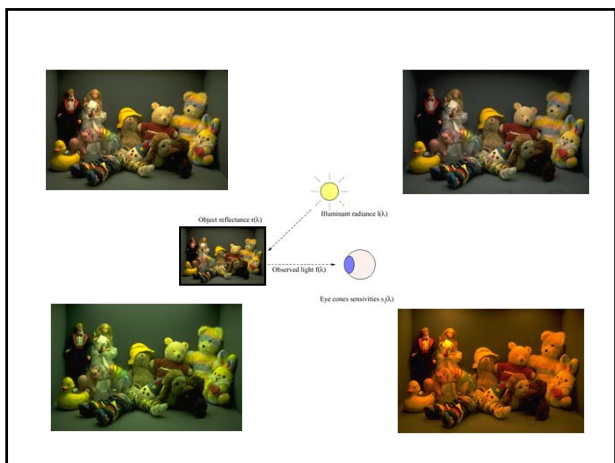
Stretching and clipping
Saturation gain

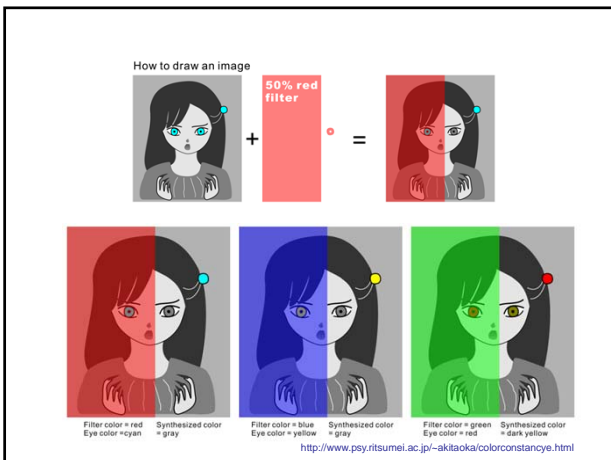
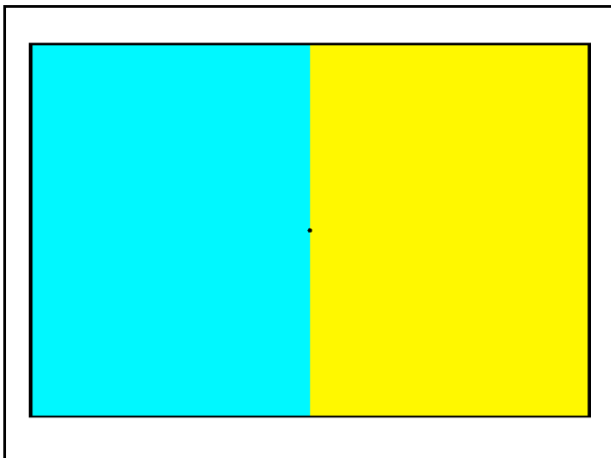


Local contrast correction

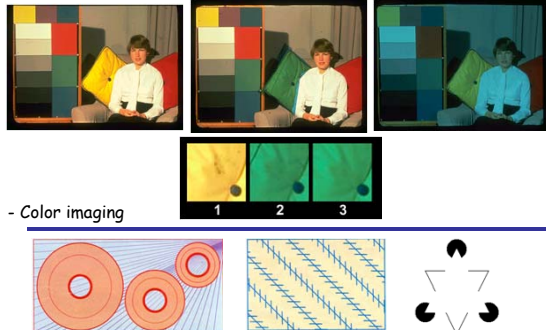
Imaging



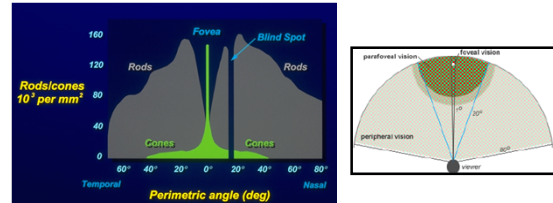




Meccanismi per la costanza del colore

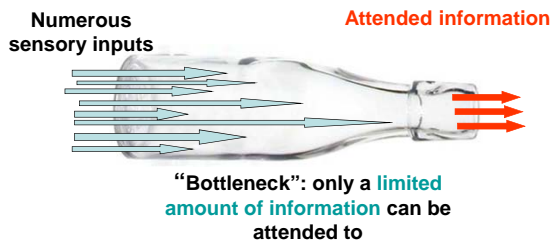


Distribuzione dei coni e dei bastancelli

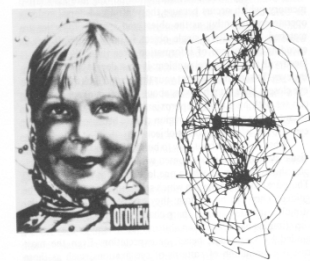


Massima risoluzione spaziale nella fovea, ottimizzata per la percezione dei dettagli.

- > Not all the information can be processed
- > **Attention:** the process by which certain information is **selected** for further processing and the other information is



Meccanismi di attenzione



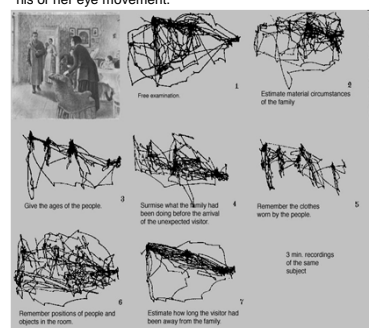
La maggior parte dei coni risiede nella fovea. La visione dell'uomo è quindi una visione attiva. Data una immagine, lo sguardo percorre dei cammini che hanno lo scopo di raccogliere l'informazione visiva. Questi cammini, esplorano soprattutto le zone con un alto contenuto di informazione visiva.

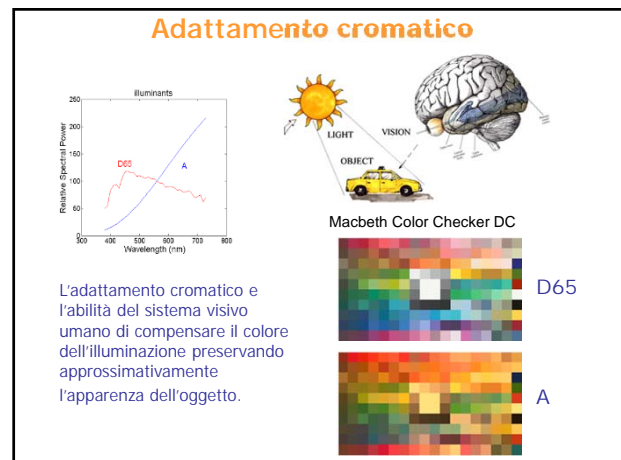
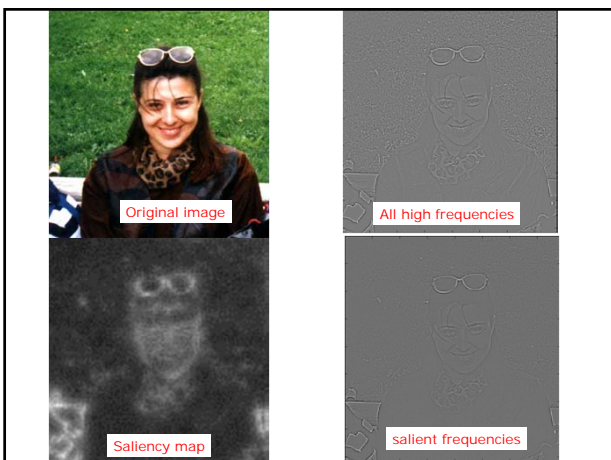
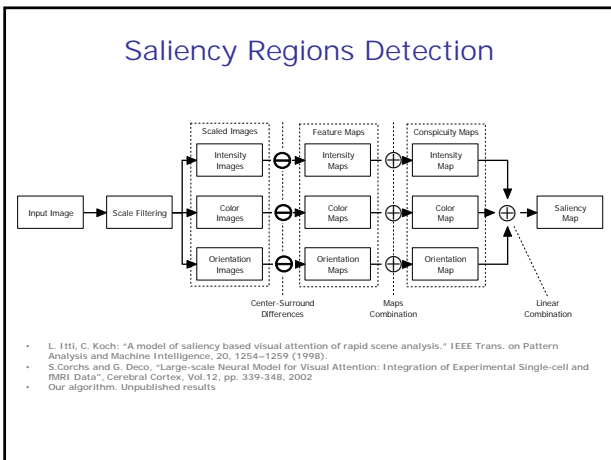
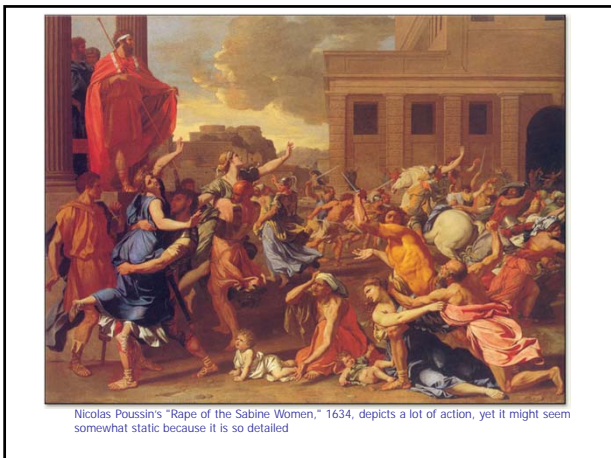
Meccanismi di attenzione



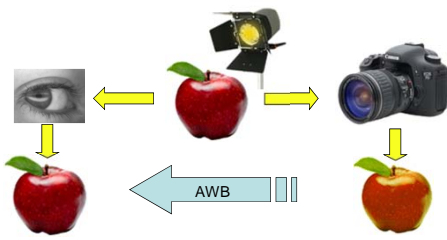
The most widely used are video-based eye trackers. A camera focuses on one or both eyes and records their movement as the viewer looks at the stimulus

This study by Yarbus (1967) is often referred to as evidence on how the task given to a person influences his or her eye movement.





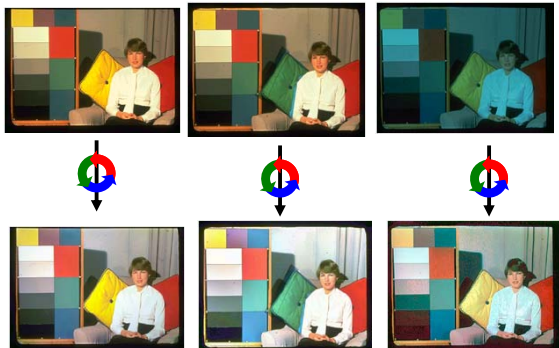
Algoritmi per la costanza del colore



Adattamento cromatico



Algoritmi per la costanza del colore



Un piccolo esperimento

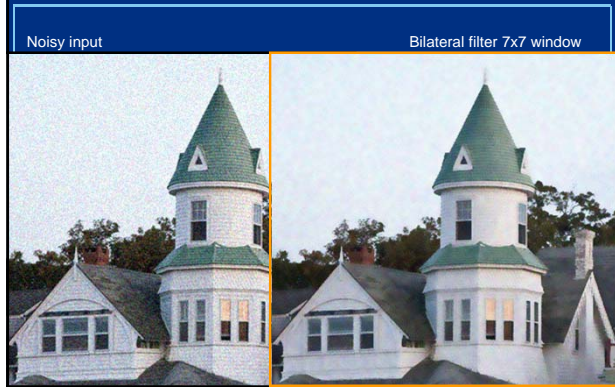


Un piccolo esperimento



Due delle immagini ottenute

Basic denoising



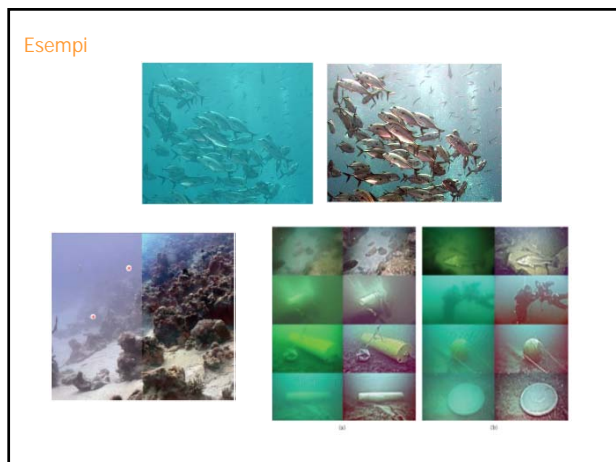
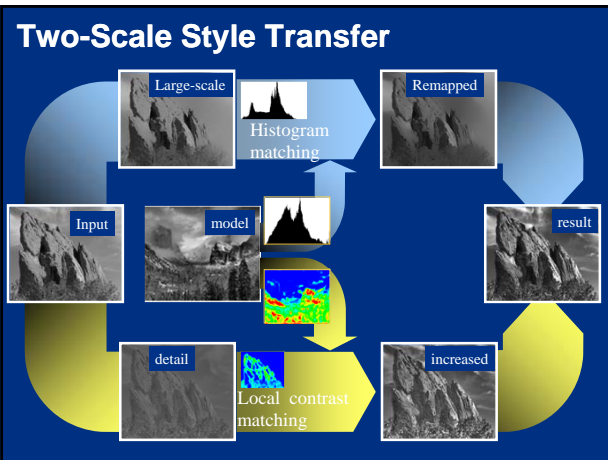


Image Enhancement for Visually Impaired



No Flash Photography

- Available light is not always enough, image is blurry/noisy



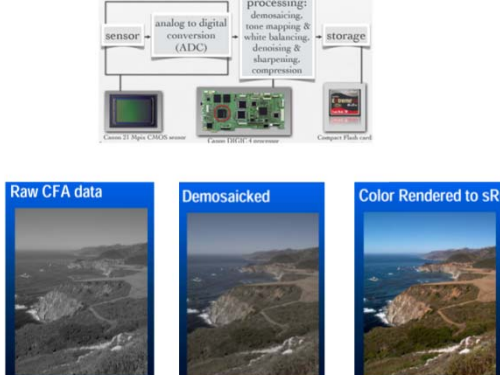
Flash Photography

- Available light is not always enough, image is blurry/noisy
- Flash photos look harsh, ambiance is not nice



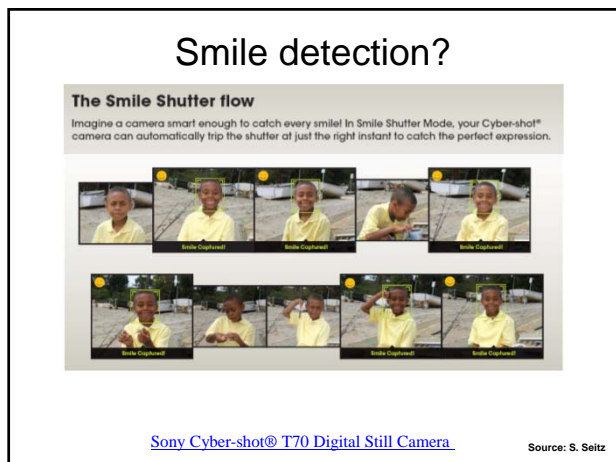
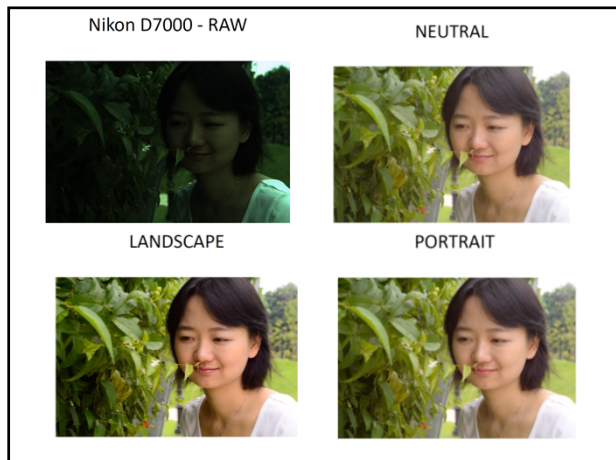
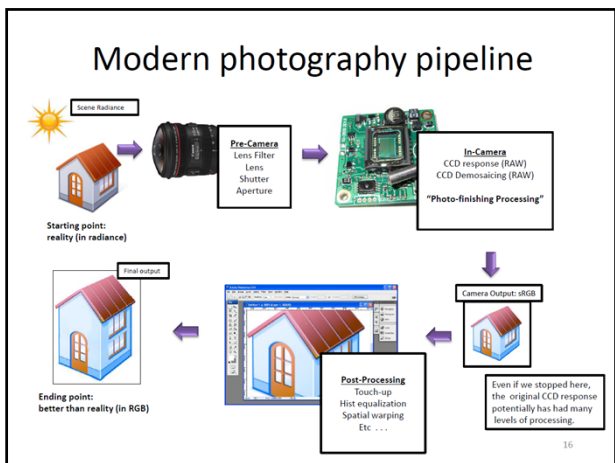
Flash / no Flash Photography

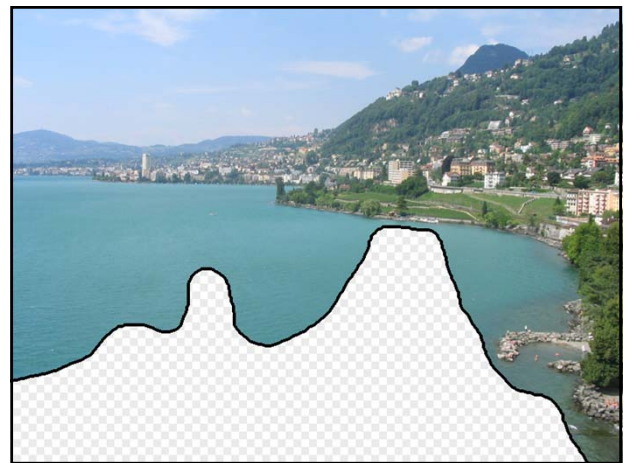
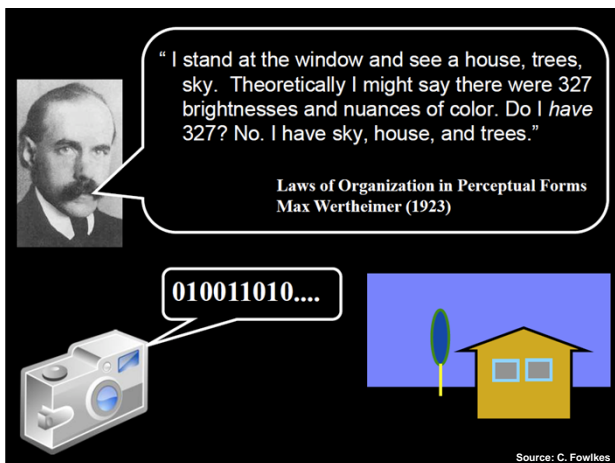
- Available light is not always enough, image is blurry/noisy
- Flash photos look harsh, ambiance is not nice
- Combines the two to get the best of both

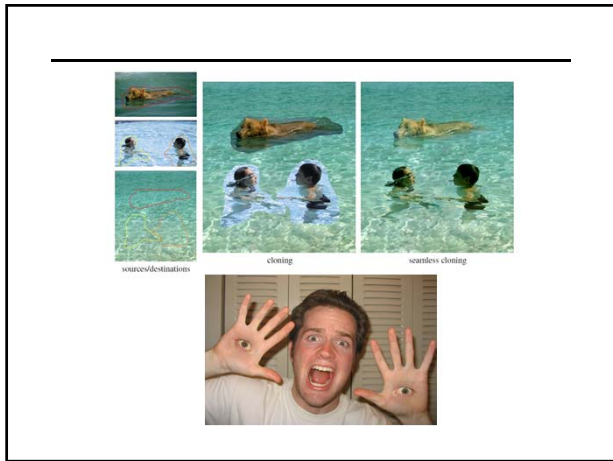
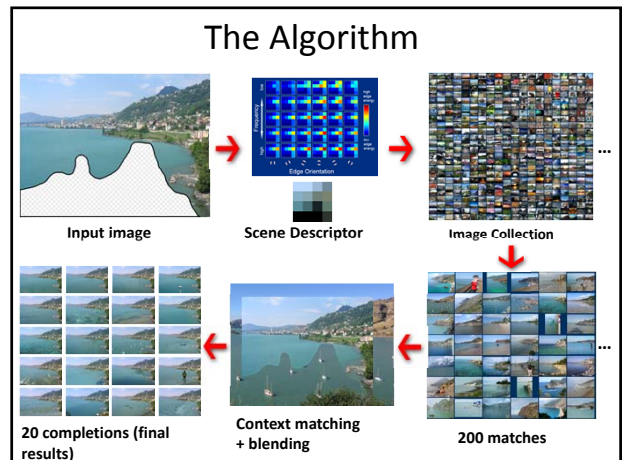
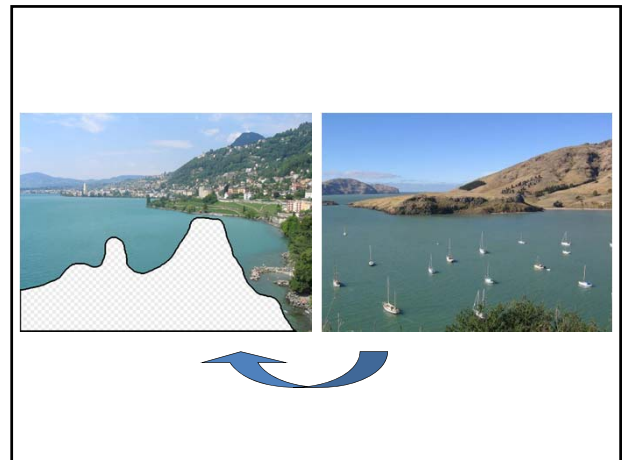


Light-measuring device?









Projective Geometry

What is lost?

- Length



3D face recognition

- Hard to circumvent



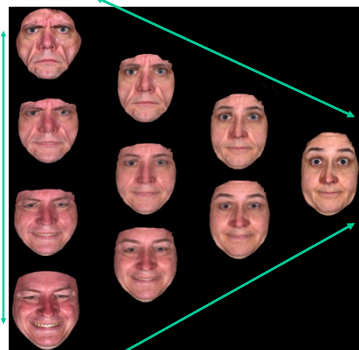
3D acquisition devices



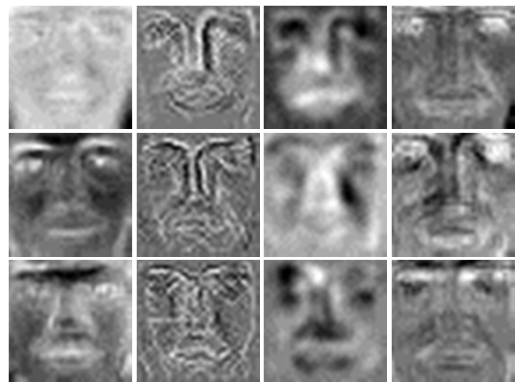
3D Face Morphing

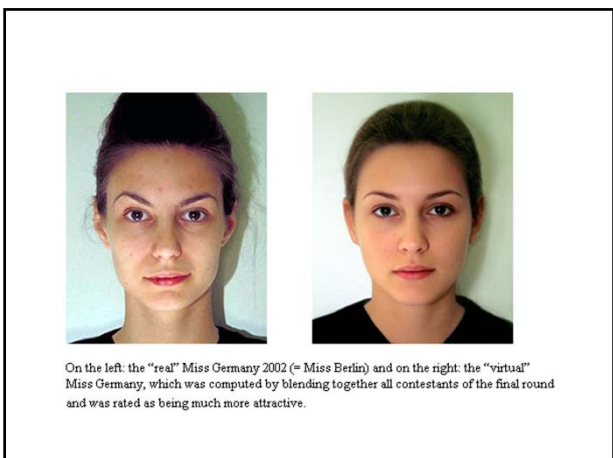


3D Face Morphing



Estrazione di caratteristiche





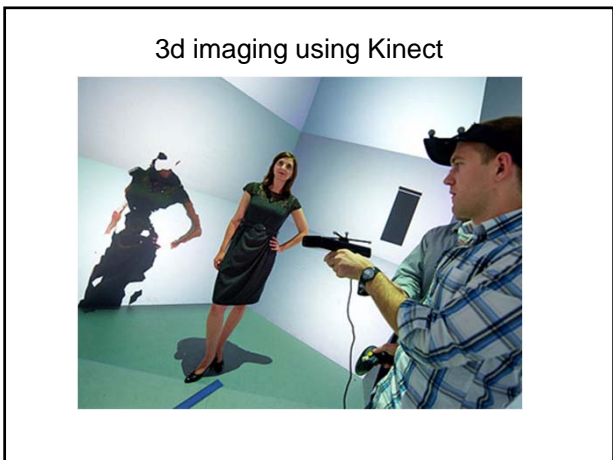
Imaging and Vision

Facile: 3D Face animation

Piecewise linear and sphincter muscles
Three-layered mass spring system for skin; muscles
Face model

Facile: a physical model of face dynamics

Facile allows the of facial expressions synthesis; and facial expression transfer.



Imaging and Vision

Imaging and Vision

DISCo - Multi touch virtual table

2009

2010

Interactive virtual objects

```

graph TD
    Camera[Camera] --> CV[Computer Vision Library]
    CV --> TUO[TUO protocol]
    TUO --> Projector[Projector]
    Projector --> Application[Application]
  
```



Imaging and Vision

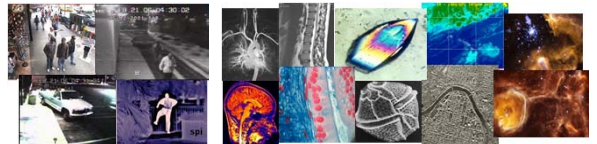


1M CCTV cameras in London & 4M in U.K.; average Briton is seen by 300 cameras/day; 400K cameras in Beijing provide 100% coverage of public places; 150K cameras in Seoul

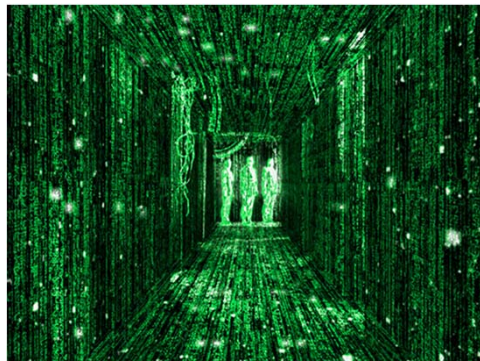
- Vision is useful: Images and videos are everywhere!



Google Image Search Picasa flickr webshots picsearch YouTube



Source: L. Lazebnik



Modelli della visione e fotografia digitale

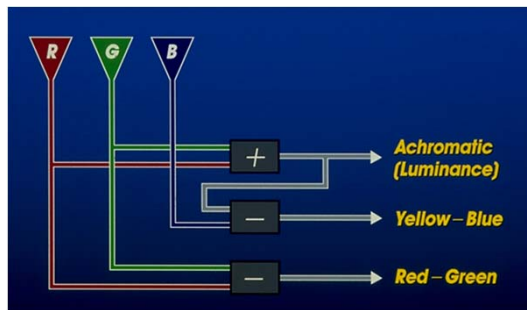
R. Schettini

D.I.S.Co. (Dip. Informatica, Sistemistica e Comunicazione)

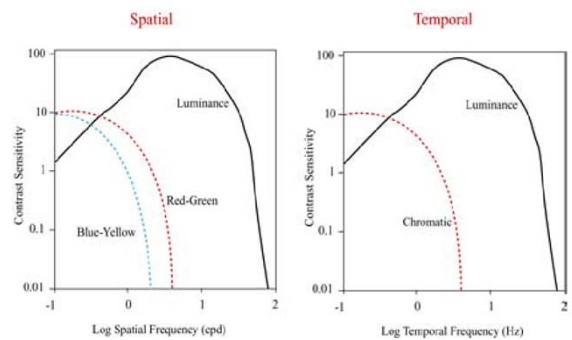
Università degli Studi di Milano-Bicocca,
Viale Sarca 336, 20126 Milano Italy

www.ivl.disco.unimib.it

Compressione del segnale retinico e compressione delle immagini



Compressione del segnale retinico e compressione delle immagini

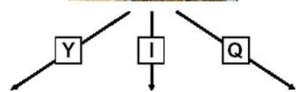


Compressione del segnale retinico e compressione delle immagini

Target display image is RGB, derived from camera



For transmission in the US, the image is converted into YIQ



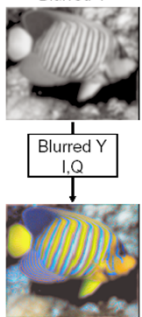
Compressione del segnale retinico e compressione delle immagini

Target display image is RGB, derived from camera

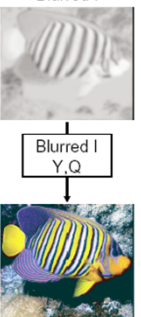


Compressione del segnale retinico e compressione delle immagini

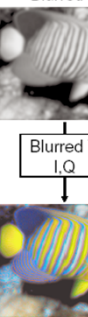
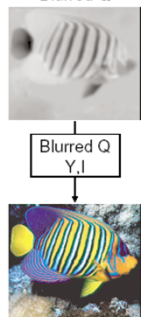
Blurred Y



Blurred I



Blurred Q

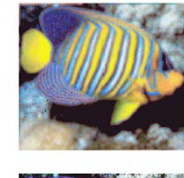


Compressione del segnale retinico e compressione delle immagini

Original



Y - Blur



I - Blur



Q - Blur